

محاسبه ی نمای بحرانی گاف انرژی در نردبان فرومغناطیسی دو - پا

حسین عارف آذر*

گروه فیزیک، دانشگاه آزاد اسلامی، واحد تهران جنوب، تهران، ایران

محمدرضا سلطانی

گروه فیزیک، دانشگاه آزاد اسلامی، واحد علوم و تحقیقات، تهران، ایران

چکیده

گاف انرژی در مدل نردبان دو - پای مغناطیسی هایزنبرگ در حضور میدان مغناطیسی مطالعه شده است. نمودار فاز حالت پایه ی نردبان دو - پای مغناطیسی در حضور میدان مغناطیسی شامل فازهای پله - یک گانه، سیال لاتینجر و فرومغناطیس اشباع می باشد. با استفاده از روش مقیاس بندی اندازه متناهی، نمای بحرانی گاف انرژی در نزدیکی میدان بحرانی اشباع محاسبه شده است. محاسبه ی فوق نشان می دهد که گذار فاز فوق در رده عامیت مدل آیزینگ در میدان عرضی قرار دارد.

کلید واژه ها: سیال لاتینجر، نردبان دو پا، مقیاس بندی اندازه متناهی

مقدمه

سیستم های اسپینی کوانتومی در بعد پایین، کاندیدای خوبی برای مطالعه ی گذارهای فاز کوانتومی اند. به همین دلیل در چند دهه ی اخیر مطالعه ی سیستم های اسپینی در بعد پایین بسیار مورد توجه قرار گرفته شده است. به ویژه خواص بحرانی نردبان های دو - پا در حضور میدان مغناطیسی خارجی، به گونه ای گسترده مورد مطالعه قرار گرفته شده است.

نردبان های اسپینی بین سیستم های یک بعدی و دو بعدی قرار می گیرند (شکل ۱). این سیستم ها از تعداد متناهی زنجیره های هایزنبرگ پادفرومغناطیس $S=1/2$ (پاها) که توسط برهمکنش تبادل J_{\perp} که با یکدیگر جفت

* عهده دار مکاتبات

می‌باشند، تشکیل شده‌است و دارای نمودار فاز غنی و جدیدی نسبت به سیستم‌های یک بعدی و دو بعدی مرسوم می‌باشند. (۱-۳) بررسی‌ها نشان می‌دهند که نردبان‌های اسپینی هایزنبرگ در طیف برانگیختگی با تعداد پاهای زوج دارای گاف انرژی و برای تعداد پاهای فرد، بدون گاف می‌باشند.

سیستم‌های نردبانی با پاهای فرومغناطیسی بسیار کم مطالعه شده‌اند. زیرا نردبان‌های اسپینی با پاهای فرومغناطیسی هنوز تایید تجربی نیافته‌اند. به هر حال از نقطه نظر تئوری این سیستم‌ها بسیار جالب هستند زیرا یک زمینه‌ی وسیع و جدید برای مطالعه‌ی رفتار کوانتومی می‌باشند. (۴-۷) در یک بررسی جالب نشان داده شده‌است که نردبان فرومغناطیسی همسانگرد با تعداد فرد پا (... و ۵ و ۳) دارای مغناطش خود به خودی می‌باشند، در صورتیکه در حالت نردبان پادفرومغناطیس مغناطش خود به خودی صفر است. (۵)

همیلتونی مدل نردبان دو پای فرومغناطیسی در غیاب میدان مغناطیسی به شکل زیر نوشته می‌شود:

$$H = H_{leg}^{(1)} + H_{leg}^{(2)} + H_{\perp} \quad (1)$$

که همیلتونی برای پای J ام:

$$H_{leg}^j = -J \sum_{n=1}^n \left[(S_{j,n}^x S_{j,n+1}^x + S_{j,n}^y S_{j,n+1}^y + \Delta S_{j,n}^z S_{j,n+1}^z) \right] \quad (2)$$

و جفتدگی بین پاها:

$$H_{\perp} = J_{\perp} \sum_{j=1}^N (S_{1,j}^x S_{2,j}^x + S_{1,j}^y S_{2,j}^y + S_{1,j}^z S_{2,j}^z) \quad (3)$$

که در اینجا عملگرهای اسپین $\frac{1}{2}$ روی $-n$ امین پله را مشخص می‌کنند. ثابت جفتدگی در بین اسپین‌های روی پاها، فرومغناطیسی ($J > 0$) است. حالت حدی پاهای همسانگرد فرومغناطیسی متناظر با $\Delta = 1$ و حالت حدی پاهای همسانگرد پادفرومغناطیسی متناظر با $\Delta = -1$ است.

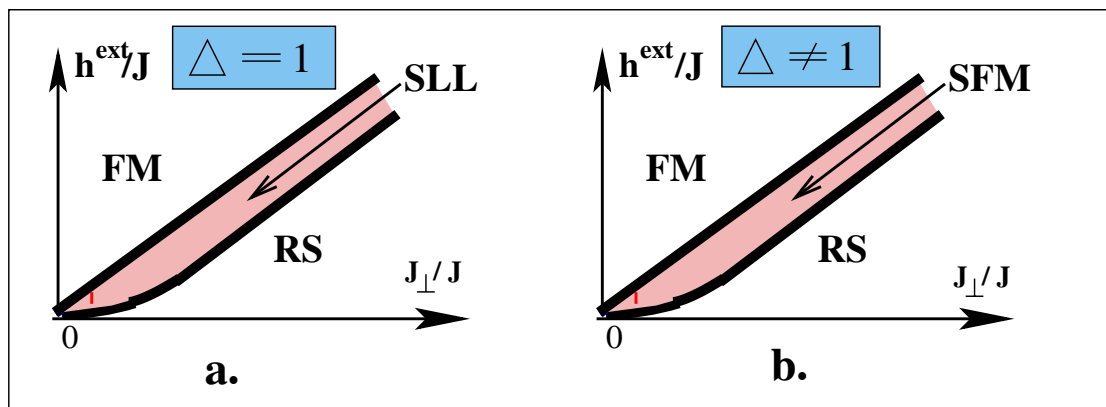
وکوا (T. Vekua) و همکارانش^(۶)، با استفاده از روش بوزونیزه کردن، نمودار حالت پایه سیستم نردبانی فوق پاهای فرومغناطیسی ($\Delta > 0$) را بررسی کرده‌اند. در این مقاله، نمودار فاز حالت پایه‌ی نردبان دو پای فرومغناطیسی در صفحه‌ی (Δ, J_{\perp}) برای مقادیر مثبت ناهمسانگردی $\Delta > 0$ و جفتدگی پادفرومغناطیسی ($J_{\perp} > 0$) بین پاها به دست آمده‌است. علاوه بر فاز دارای گاف "پله یک گانه"، نمودار فاز حالت پایه شامل فاز "سیال لاتینجر اسپینی" و فاز "فرومغناطیس راه راه" (SFM) می‌باشد که فاز "فرومغناطیس راه راه" فقط در حالت پاهای فرومغناطیسی یافت می‌شود. ($\Delta > 0$) (۹،۶،۴،۱۰)

اثر میدان مغناطیسی خارجی روی نمودار فاز حالت پایه نردبان فرومغناطیسی فوق^(۷) بررسی شده‌است. در این مقاله، اثرات ایجاد شده توسط میدان مغناطیسی در نمودار فاز حالت پایه سیستم توسط روش بوزونیزه کردن مطالعه شده‌است. همیلتونی مدل نردبان فوق در حضور میدان مغناطیسی به شکل (۱) نوشته می‌شود با این تفاوت که همیلتونی برای پای J ام به شکل زیر اصلاح می‌شود:

$$H_{leg}^j = -J \sum_{n=1}^N \left[(S_{j,n}^x S_{j,n+1}^x + S_{j,n}^y S_{j,n+1}^y + \Delta S_{j,n}^z S_{j,n+1}^z) + h^{ext} S_{j,n}^x \right] \quad (4)$$

وکوا و همکارانش ابتدا همیلتونی بوزونیزه شده ی سیستم را محاسبه و سپس اثر میدان مغناطیسی عرضی در نمودار فاز نردبان فوق را بررسی کرده‌اند. اما اگر سیستم در غیاب میدان مغناطیسی عرضی در فاز "پله یک گانه" باشد، که در حالت جفتدگی قوی پله ای یعنی $J \gg J_{\perp}$ برای نردبان همسانگرد $\Delta = 1$ می توان به طور تحلیلی اثر میدان عرضی روی خواص مغناطیسی حالت پایه سیستم را بررسی کرد. در این حالت حدی نشان داده شده است که با اعمال میدان مغناطیس عرضی h^{ext} و افزایش آن، دو گذار فاز مرتبه دوم روی می دهد. ابتدا در میدان بحرانی $h^{ext} = h_{c1}^{ext} = J_{\perp} - J$ گذار از فاز "پله یک گانه" به فاز "سیال لاتینجر اسپینی" و در میدان $h^{ext} = h_{c2}^{ext} = J_{\perp}$ گذار از فاز "سیال لاتینجر اسپینی" به فاز "فرومغناطیس اشباع" صورت می گیرد. ^(۷) (شکل ۱-ا)

از طرف دیگر برای نردبان اسپینی فرومغناطیسی با پاهای ناهمسانگرد، $\Delta \neq 1$ نمی توان مسئله را به صورت تحلیلی بررسی کرد. به هر حال، بر اساس تخمین های کیفی و تحلیل های تقارنی نشان داده شده است که دو گذار فاز روی می دهد ^(۷). همچنین در این حالت پیش بینی شده است که برای $\Delta = 1$ فاز "پله یک گانه" از فاز "فرومغناطیس اشباع" توسط فاز دارای گاف "فرومغناطیس راه راه" جدا می شود (شکل ۱-ب).



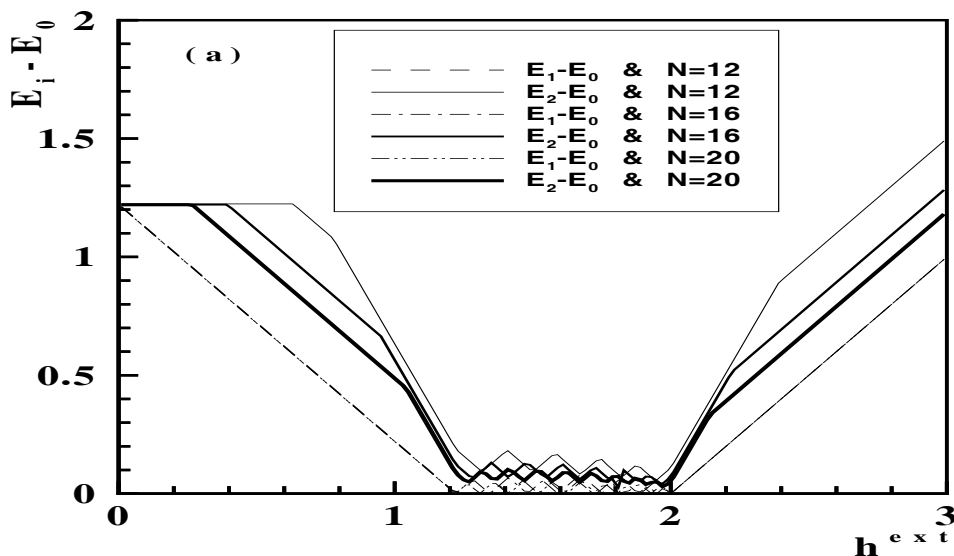
شکل ۱. سیمای کیفی نمودار فاز حالت پایه ی یک نردبان دو - پای فرومغناطیسی به صورت تابعی از میدان مغناطیسی اعمال شده ی h^{ext} و جفتدگی تبدالی J_{\perp} .

مطالعه عددی گاف انرژی

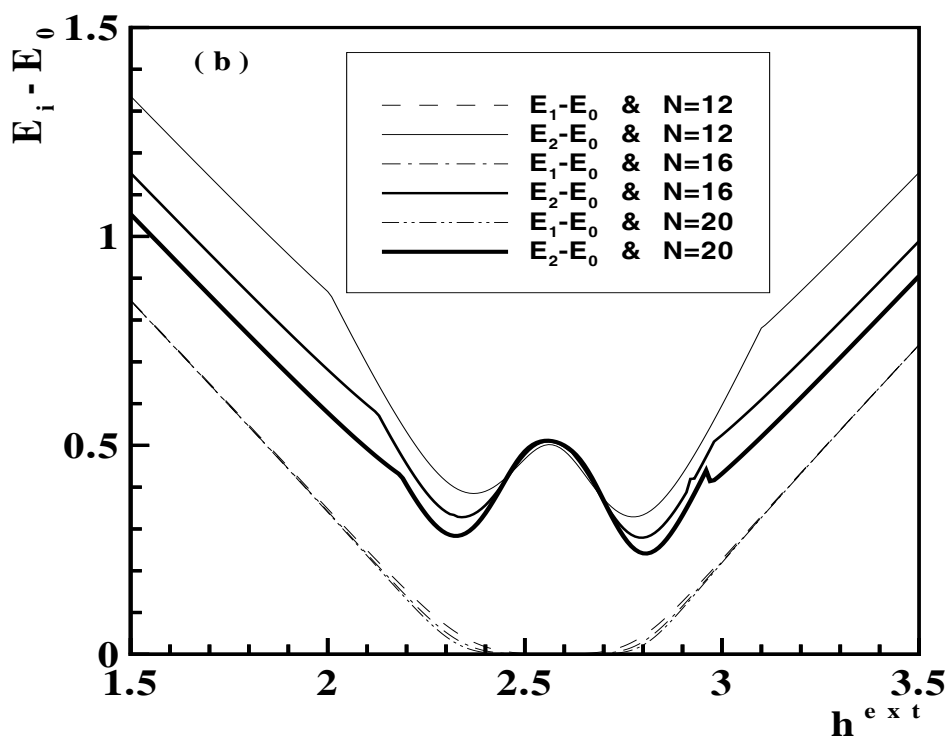
برای بررسی نمودار فاز حالت پایه نردبان اسپینی فوق، از روش لنگشوز استفاده می کنیم. انرژی ها و ویژه حالت های انرژی را با در نظر گرفتن شرایط مرزی دوره ای برای زنجیره ها تعیین می کنیم. با بررسی گاف انرژی می توان خطوط گذار فاز را به سادگی از محاسبات عددی سیستم های کوچک ($N=16, 20, 24, 12$) مشاهده کرد.. ابتدا نردبان همسانگرد $\Delta = 1$ را مورد بررسی قرار می دهیم. در شکل ۲-ا سه تراز اول انرژی نردبان هایی با طول $N=12, 16, 20, 24$ و $J_{\perp} = 2J$ به صورت تابعی از میدان مغناطیسی خارجی h^{ext} رسم شده است. گاف انرژی سیستم، معادل با اختلاف انرژی بین اولین حالت برانگیخته و حالت پایه است. هم چنانکه در شکل دیده می شود در غیاب میدان مغناطیسی (یعنی $h^{ext} = 0$)، در طیف انرژی سیستم گاف وجود دارد. با اعمال میدان خارجی و افزایش آن $(h^{ext} > 0)$ ، گاف انرژی به طور خطی کاهش می یابد تا در میدان بحرانی h_{c1}^{ext} صفر می شود.

این اولین تقاطع تراز بین انرژی حالت پایه و اولین حالت برانگیخته است. برای به دست آوردن یک تخمین دقیق از h_{c1}^{ext} ، اولین تقاطع تراز را برای سیستم‌های با اندازه‌ی $N=12, 16, 20, 24$ تعیین کرده‌ایم. رفتار اندازه‌ی متناهی این مقادیر برای $N \rightarrow \infty$ ، میدان بحرانی $h_{c1}^{ext} = 1/2 \pm 0/01$ را نتیجه می‌دهد. همچنین دیده می‌شود که در ناحیه‌ی $h_{c1}^{ext} < h^{ext} < h_{c2}^{ext}$ در طیف انرژی وجود ندارد و با ادامه‌ی افزایش میدان در $h_{c2}^{ext} = 2/0$ در طیف سیستم یک گاف ایجاد می‌شود. به دلیل اینکه هیچ تصحیح وابسته به اندازه‌ی در h_{c2}^{ext} وجود ندارد و مقدار بحرانی $h_{c2}^{ext} = 2.0$ را به شکل دقیق به دست آورده‌ایم. به هر حال مقادیر میدان‌های بحرانی h_{c1}^{ext} و h_{c2}^{ext} که از مطالعه‌ی عددی سیستم‌های متناهی به دست آمده‌اند بسیار نزدیک به مقادیر تحلیلی می‌باشند. $h_{c1}^{ext} = J_{\perp} - J = 1.0$ و $(h_{c2}^{ext} = J_{\perp} = 2.0$

در مقابل این نردبان فرومغناطیسی همسانگرد ما همچنین طیف پایین انرژی نردبان فرومغناطیسی ناهمسانگرد ($\Delta \neq 1$) را نیز بررسی کرده‌ایم. اختلاف انرژی بین اولین و دومین حالت برانگیخته با انرژی حالت پایه به صورت تابعی از میدان مغناطیسی h^{ext} برای $J_{\perp} = 1$ و $J = 3J_{\perp}$ با اندازه‌ی $N=12, 16, 20$ و مقادیر مختلف پارامتر ناهمسانگردی $\Delta = 0.3, 0.5, 0.7$ را محاسبه کرده‌ایم. به عنوان مثال در شکل ۲-b، نتایج این محاسبات برای ناهمسانگردی $\Delta = 0.5$ رسم شده است. به وضوح دیده می‌شود که طیف برانگیختگی فقط به‌ازای مقادیر میدان بحرانی $h_{c1}^{ext} = 2.3 \pm 0.1$ و $h_{c2}^{ext} = 3.0 \pm 0.1$ دارای گاف انرژی نمی‌باشد و در ناحیه‌ی $h_{c1}^{ext} < h^{ext} < h_{c2}^{ext}$ انرژی حالت پایه در حد ترمودینامیک، تبهگنی مرتبه‌ی دو خواهد داشت. گاف انرژی که در $h^{ext} > h_{c1}^{ext}$ ظاهر می‌شود نسبت به میدان خارجی افزایش می‌یابد تا به مقدار بیشه‌ای برسد و سپس کاهش می‌یابد تا در h_{c2}^{ext} مجدداً صفر می‌شود. در ناحیه‌ی $h^{ext} < h_{c2}^{ext}$ گاف باز می‌شود و برای میدان‌های به اندازه‌ی کافی بزرگ، متناسب با h^{ext} رفتار می‌کند. این نتایج همچنین در توافق بسیار خوبی با نتایج به‌دست آورده شده در مطالعه‌ی زنجیره‌ی پادفرومغناطیس کاملاً ناهمسانگرد XXZ در حضور میدان مغناطیسی خارجی می‌باشند.^(۸)



شکل ۲-a اختلاف بین انرژی دو تراز اول و انرژی حالت پایه به صورت تابعی از میدان مغناطیسی خارجی h^{ext} برای تبادل $J_{\perp} = 2J$ و پارامتر ناهمسانگردی $\Delta = 1$ طول‌های مختلف $N=12, 16, 20$.



شکل ۲- b اختلاف بین انرژی دو تراز اول و انرژی حالت پایه به صورت تابعی از میدان مغناطیسی خارجی h^{ext} برای تبادل $J_{\perp} = 3J$ و پارامتر ناهمسانگردی $\Delta = 0.5$ و طول های مختلف $N=12, 16, 20$.

محاسبه نمای بحرانی گاف انرژی

روش مقیاس بندی اندازه متناهی، راه کاری است برای استخراج نماهای بحرانی با مشاهده چگونگی تغییر کمیت های اندازه گیری شده نسبت به اندازه ی سیستم (N) می باشد. به دلیل اینکه هدف ما محاسبه ی نمای بحرانی گاف انرژی است بنابراین در اینجا سعی می شود روشی را برای محاسبه این نما از سیستم های با اندازه ی متناهی، ارائه دهیم.

گاف انرژی را به شکل زیر در نظر می گیریم:

$$G(N, h) \approx N^{-1} f(x) \tag{5}$$

که در این رابطه $x = N(h - h_c)^\epsilon$ متغیر مقیاسی است و $f(x)$ تابع مقیاسی را مشخص می کند. با ضرب طرفین رابطه ی فوق در N خواهیم داشت:

$$\lim_{N \rightarrow \infty(x \ll 1)} NG(N, h) \approx N(h - h_c)^\epsilon \tag{6}$$

این رابطه نشان می دهد که رفتار x -بزرگ تابع $f(x)$ برای نمای بحرانی ϵ بر حسب x خطی است. اما به دلیل اینکه روش لنگشوز محدود به سیستم هایی با اندازه ی کوچک $N \leq 30$ می باشد بنابراین مقدار کمیت x نمی

تواند افزایش قابل توجه ای داده شود و در نتیجه باید نمای بحرانی را از رفتار تابع گاف انرژی در ناحیه x -کوچک به دست آورد. در این رژیم از سیستم های کوچک، رفتار گاف انرژی اختلالی است و به شکل زیر بازنویسی می شود:

$$G(N, h) = A^{(0)}(N) + A^{(1)}(N)(h - h_c) + A^{(2)}(N)(h - h_c)^2 + \dots \quad (7)$$

از جملات مراتب بالاتر اختلال به دلیل کوچک بودن $(h - h_c)$ صرف نظر می کنیم. اولین ضریب را به صورت تابعی از اندازه ی سیستم مورد بررسی قراردادده ایم و رفتار آن بر حسب N به صورت $1/N$ می باشد که مورد انتظار نیز می باشد. حال رابطه ی (۷) را به صورت زیر بازنویسی می کنیم:

$$G(N, h) \approx N^{-1} f[(N)^\varepsilon (h - h_c)] \quad (8)$$

از رابطه (۸) در حد $h = h_c$ می توان جمله ی غالب را به دست آورد:

$$\frac{\partial^m G}{\partial h^m} = N^{-1 + \frac{m}{\varepsilon}} \times \text{constant} \quad (9)$$

که m مرتبه ی جمله ی غالب در بسط اختلال است. به سادگی به دست می آید که:

$$A^{(m)}(N) \approx N^{-1 + \frac{m}{\varepsilon}} \quad (10)$$

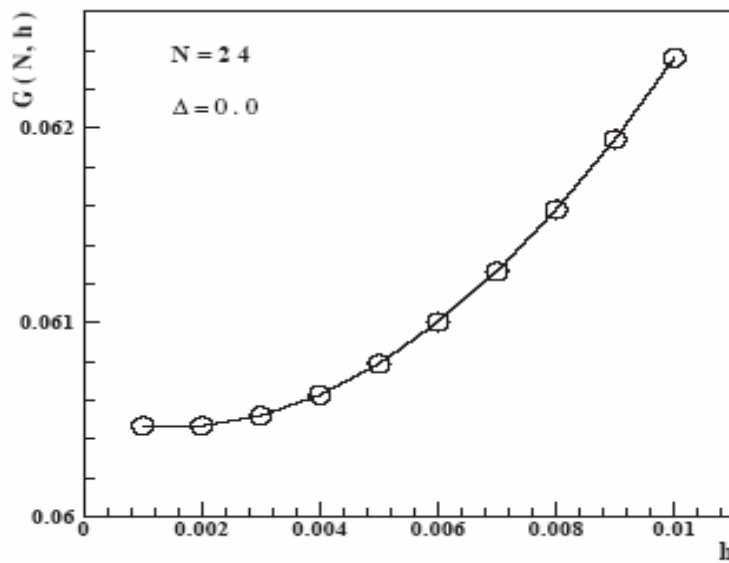
اگر رفتار N -بزرگ تابع $A^{(m)}(N)$ را به شکل زیر در نظر بگیریم:

$$\lim_{N \rightarrow \infty} A^{(m)}(N) \approx a_1 N^\beta \quad (11)$$

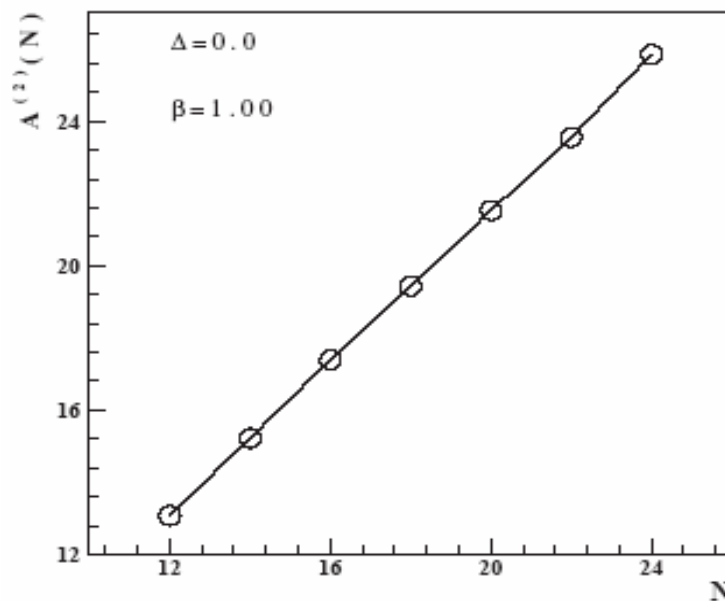
به دست می آوریم که نمای بحرانی گاف انرژی به نمای β - به صورت زیر مربوط می شود:

$$\varepsilon = \frac{m}{1 + \beta} \quad (12)$$

در نتیجه برای محاسبه ی نمای بحرانی گاف انرژی از نتایج مربوط به رژیم x -کوچک مراحل زیر را انجام داده ایم. در مرحله ی اول نمودار گاف انرژی $G(N, h_c)$ را بر حسب میدان مغناطیسی h ، برای مقادیر میدان $0.001 \leq (h - h_c) \leq 0.01$ و نردبانی به اندازه ی $N = 24$ در شکل ۳ رسم کرده ایم. بهترین برازش برای داده ها توسط $(G(N, h_c) \propto (h - h_c)^\gamma)$ ، $\gamma = 2.2$ به دست آمده است که نشان می دهد اولین جمله ی غیر صفر در بسط اختلال مرتبه ی دوم ($m = 2$) است. ما همچنین نردبان هایی با اندازه ی $N = 12, 16, 20$ در نظر گرفته و نتیجه ی یکسانی به دست آوردیم. در مرحله ی دوم، نتایج گاف انرژی $G(N, h)$ را برای میدان های نزدیک به میدان بحرانی h_c به صورت چند جمله ای بسط داده ایم و تابع $A^{(2)}(N)$ را به صورت تابعی از N محاسبه می کنیم و در آخر با رسم نمودار $A^{(2)}(N)$ بر حسب N (شکل ۴) و برازش داده ها، نمای β را برابر 1.00 ± 0.05 به دست آورده ایم و با استفاده از رابطه (۱۲) نمای بحرانی گاف انرژی برابر با $\varepsilon = 1.0 \pm 0.1$ به دست آمده است. محاسبات عددی فوق نشان می دهند که گذار فاز فوق در رده ی عامیت مدل آیزینگ در میدان عرضی قرار دارد.



شکل ۳. مقادیر تابع گاف انرژی $G(N, h)$ نسبت به میدان مغناطیسی خارجی در نزدیکی نقطه ی بحرانی h_c برای نردبانی با اندازه $N = 24$. بهترین برازش به داده ها با انتخاب $(G(N, h_c) \propto (h - h_c)^\gamma)$, $\gamma = 2.2$ به دست آمده است.



شکل ۴. مقادیر تابع مقیاسی $A^{(2)}(N)$ نسبت به طول نردبان $N = 12, 14, \dots, 24$. بهترین برازش به داده ها با انتخاب $\beta = 1.00 \pm 0.05$ به دست آمده است.

نتیجه گیری

گاف انرژی در مدل نردبان دو - پای مغناطیسی با پاهای فرومغناطیسی ناهمسانگرد در حضور میدان مغناطیسی عرضی مطالعه شده است. با استفاده از روش لنگشوز گاف انرژی برای نردبان های متنهائی و نزدیک به

نقاط بحرانی محاسبه شده است. با استفاده از روش مقیاس بندی اندازه متناهی و ترکیب آن با روش اختلالی، نمای بحرانی گاف انرژی محاسبه شده است. محاسبات عددی فوق نشان می‌دهند که گذار فاز فوق در رده ی عامیت مدل آیزینگ در میدان عرضی قرار دارد.

سپاسگزاری

این پژوهش توسط دانشگاه آزاد اسلامی واحد جنوب تهران حمایت مالی شده است.

Reference:

1. Barnes, T., Dogotto, E., Riera, J., and Swanson, E.S., *Phys. Rev. B*, **47**, 3196 (1993).
2. Dagotto, E., and Rice, T.M., *Science*, 271, 618 (1996).
3. Lecheminant, P., *Cond-mat / 0306520*, 60 (2003)
4. Schulz, H.J., *Phys. Rev. B*, **34**, 6372 (1986).
5. Wiessner, R.M., *Phys. Rev. B*, **60**, 6545 (1999).
6. Vekua, T., Japaridze, G.I., and Mikeska, H. J., *Phys. Rev. B*, **67**, 064419 (2003).
7. Vekua, T., Japaridze, G.I., and Mikeska, H. J., *Phys. Rev. B*, **70**, 014425 (2004).
8. Cullum, J.C., and Willoughby, R.A., *In Lanczos Algorithms for LargSymmetric Eigenvalue Computations*, Birkhauser, Boston (1985)
9. Parlett, B.N., *The symmetric Eigenvalue Problem*, Prentice – Hall Englewood Cliffs, NJ (1980).
10. Hogemans, R., Caux, J.S., and Low, U., *Phys. Rev. B*, **71**, 011137 (2005).